

تاریخ دریافت مقاله: ۱۳۹۶/۰۳/۰۳  
تاریخ پذیرش نهایی: ۱۳۹۶/۰۹/۰۱

احسان عرب انواری<sup>۱</sup>، ریما فیاض<sup>۲</sup>

## شبیه‌سازی پارامتریک کارایی ساختمان در مراحل اولیه طراحی: ساختمان مسکونی میان‌مرتبه در اقلیم گرم و خشک<sup>۳</sup>

### چکیده

بحran نفت دهه هفتاد میلادی سرآغاز حرکتی بود با هدف کاهش مصرف انرژی که در بخش ساختمان تحولاتی را در مراحل طراحی و ساخت در پی داشت. در این زمینه بهینه‌سازی کارایی سامانه‌های ساختمان در مراحل اولیه طراحی روشنی است که می‌تواند منجر به بازدهی بالا در ساختمان شود در حالی که هزینه اندکی به همراه خواهد داشت. معمار در هنگام طراحی یک ساختمان انرژی کارا نیازمند شناسایی عوامل و شاخص‌های مؤثر است تا با تعیین آنها بتواند به هدف خود در صرفه‌جویی انرژی در ساختمان دست یابد. بنابراین اولین قدم تعیین این عوامل و مؤلفه‌ها است و قدم بعدی تعیین توابع هدف برای بهینه‌یابی. لذا برای شناسایی مؤلفه‌ها و اهداف، از مرور ادبیات و برای پیاده‌سازی روند بهینه‌یابی از الگوریتم‌های تکاملی استفاده شد. به این منظور یک ساختمان مسکونی به عنوان نمونه موردی که در اقلیم گرم و خشک تهران قرار دارد بررسی شد. طی این پژوهش با استفاده از الگوریتم ژنتیک چنددهده، ۱۲ مؤلفه با سه تابع هدف شدت مصرف انرژی، آسایش محیط داخل و روشنایی نور روز بهینه‌یابی شدند. در کنار تعیین حالات بهینه مؤلفه‌ها، با تحلیل حساسیت مشخص شد که مصالح دیوار خارجی مؤثرترین مؤلفه در شدت مصرف انرژی و آسایش محیط داخل و نوع شیشه پنجره مؤثرترین عامل در روشنایی نور روز است.

**کلیدواژه‌ها:** مدل‌سازی انرژی، شبیه‌سازی پارامتریک، طراحی اولیه، الگوریتم بهینه‌سازی و تحلیل حساسیت.

<sup>۱</sup> کارشناسی ارشد معماری و انرژی، دانشکده معماری و شهرسازی، دانشگاه هنر، استان تهران، شهر تهران (نویسنده مسئول مکاتبات)  
E-mail: ehsan.anvary@gmail.com

<sup>۲</sup> دانشیار گروه معماری، دانشکده معماری و شهرسازی، دانشگاه هنر، استان تهران، شهر تهران  
E-mail: fayaz@art.ac.ir

<sup>۳</sup> این مقاله برگرفته از پایان‌نامه کارشناسی ارشد احسان عرب انواری با عنوان «بررسی پارامتریک شبیه‌سازی انرژی در مراحل اولیه طراحی برای ساختمان‌های مسکونی با ارتفاع متوسط در اقلیم گرم و خشک ایران» است که با راهنمایی دکتر ریما فیاض در دانشگاه هنر انجام شده است.

## مقدمه

بحران نفت دهه هفتاد میلادی هشداری به جامعه صنعتی بود که رفع همه نیازهای خود را بر پایه انرژی حاصل از سوخت‌های فسیلی بنا نهاده بود و گمان می‌کرد این شیوه زیست اثری بر محیط طبیعی ندارد. پس از این بحران بخش‌های مختلف در کشورهای صنعتی در صدد اصلاح این نگرش برآمدند. هم‌اکنون بخش ساختمان یکی از مصرف‌کننده‌های اصلی انرژی محسوب می‌شود و توجه به کارایی سامانه‌ها و یکپارچگی آن با محیط اطراف تأثیر قابل توجهی بر کاهش اثرات زیست‌محیطی و مصرف انرژی به همراه دارد. در روند طراحی ساختمان، در مراحل اولیه طراحی با وجود مجهولات بسیاری که پیش روی عمار قرار دارد، هزینه تغییرات هم بسیار انداز است و هرچه مراحل طراحی پیش می‌رود معلومات عمار و هزینه تغییرات احتمالی نیز افزایش می‌یابد. به همین دلیل ارائه راهکارهایی جهت بهینه شدن طرح از نظر انرژی در مراحل اولیه طراحی باعث کمینه شدن هزینه تغییرات احتمالی می‌شود.

برای افزایش کارایی یک طرح معماری، عمار نیاز دارد در مرحله‌ای که آزادانه مدل‌های مفهومی را شکل می‌دهد، گزینه‌ها و شاخص‌هایی در اختیارش قرار بگیرد، بهنحوی که بدون محدودیت در خلاقیت و تفکر عمارانه به کارایی قابل قبولی نیز دست یابد. اینکه چه مؤلفه‌هایی و به چه اندازه بر کارایی انرژی، آسایش افراد و نور روز ساختمان اثرگذار هستند، از جمله مهم‌ترین سؤال‌ها به شما می‌روند. بعد از شناسایی مؤلفه‌ها باید مشخص شود که این مؤلفه‌ها با کدام اهداف بهینه می‌شوند. شیوه‌سازی کلیه حالات که با ترکیب مؤلفه‌های مختلف ایجاد می‌شود، عمولاً بسیار زمانبر است. بنابراین بهمنظور دستیابی به بهینه‌ترین جواب‌ها در کمترین زمان و با کمترین تعداد گزینه‌های بررسی شده باید از روش‌ها و الگوریتم‌های هوشمند بهمنظور جست‌وجوی بهینه فضای مسئله بهره برد. مهم‌تر از پاسخ‌های نهایی که از بهینه‌سازی‌ها به دست می‌آید، چگونگی شکل‌گیری یک مدل پارامتریک و ملاحظاتی است که در این میان باید در نظر گرفت.

این پژوهش سه هدف اصلی را دنبال می‌کند: شناسایی مؤلفه‌های معماری مؤثر بر کارایی انرژی ساختمان مسکونی، دستیابی به روندی علمی و بهینه برای شکل‌گیری مدل پارامتریک و طراحی یک واحد مسکونی انرژی کارا در شهر تهران که به طور همزمان کمترین شدت مصرف انرژی، بیشترین آسایش محیط داخل و بهره‌مندی از نور روز را داشته باشد. با استفاده از الگوریتم چنددهده ثنتیک و شیوه‌سازی توابع هدف، جواب‌های بهینه به دست می‌آیند. نقطه تمایز این پژوهش نسبت به پژوهش‌های مشابه، وارد کردن متغیر وضعیت مکانی فضاهای مسکونی به عنوان یکی از مؤلفه‌های بهینه‌سازی است. با استفاده از داده‌های منتج از شیوه‌سازی‌ها، مؤثر ترین مؤلفه‌ها بر اهداف بهینه شده با تحلیل حساسیت استخراج شدند. تحلیل حساسیت خود یک مفهوم محاسباتی است که این پژوهش یکی از روش‌های محاسباتی ساده آن (Samuelson *et al.*, 2016) را استفاده کرد.

بدین وسیله معمار ضمن اینکه می‌تواند از روندی مشخص برای ایجاد یک الگوریتم بهینه‌سازی واحد مسکونی بهره ببرد، در صورتی که نیاز به بهینه‌سازی نداشته باشد می‌تواند تنها مؤلفه‌ای که تأثیر بیشتری بر اهداف اصلی کارایی ساختمان دارد را به صورت بهینه مورد استفاده قرار دهد.

## پیشینه نظری

این پژوهش در نظر دارد بنيان نظری خود را نه بر کل فرآيند طراحی معماری بلکه تنها بر مرحله طراحی اولیه استوار سازد و به منظور مشخص شدن محدوده اين مرحله در فرآيند طراحی معماری، تعریفی را که

«دستورالعمل<sup>۱</sup> ارائه می‌دهد مدنظر قرار می‌دهد. فرآیند طراحی ساختمان «دستورالعمل<sup>۲۳</sup>» که توسط آژانس بین‌المللی انرژی<sup>۲</sup> تهیه شده است، مراحل طراحی را به چهار قسمت تقسیم کرده است: پیش‌طراحی، طراحی، ساخت و ساز، بهره‌برداری (Löhnert *et al.*, 2003, 35). مرحله طراحی خود به سه بخش طراحی شماتیک، توسعه طراحی و طراحی فنی تقسیم می‌شود. به مجموع مراحل پیش‌طراحی و طراحی شماتیک، مراحل اولیه فرایند طراحی گفته می‌شود. در مراحل اولیه طراحی تصمیمات متعددی برای رسیدن به اهداف طراحی ساختمان همچون کارایی انرژی، هزینه‌ها، اثرات زیست‌محیطی، آسایش حرارتی و غیره اتخاذ می‌گردد (2) (Negendahl & Nielsen, 2015, 2). مطالعات بهینه‌سازی اغلب در مرحله طراحی اولیه اجرا می‌شوند، جایی که اکثر تصمیمات طراحی هنوز شکل نگرفته است، (Miles *et al.*, 2001, 1) اما اغلب در این مرحله گزینه‌های مختلف طراحی و تأثیر آنها بر عملکرد ساختمان به‌طور کامل مورد بررسی قرار نمی‌گیرند (Fang, 2017, 29).

بهینه‌سازی فرآیند و روشهای علمی برای طراحی و تصمیم‌گیری است که امکان کنکاش میان تعداد زیادی از گزینه‌های طراحی را به صورت بهینه امکان‌پذیر می‌کند و باید تا حد امکان عملکردی و مؤثر باشد (Merriam–Webster, 2017). رایت پیشگام در زمینه پژوهش بهینه‌سازی ساختمان در سال ۱۹۸۶ از

روش «جست‌وجوی مستقیم» در بهینه‌سازی سامانه تهویه مطبوع استفاده کرد (Wright, 1986). مطالعات بهینه‌سازی پوسته ساختمان اغلب بر انتخاب انواع پیکربندی اجزای ساختمان و مصالح ساختمانی متمرکز هستند و برخی مطالعات متغیرهایی مانند نسبت پنجره به دیوار، جهت‌گیری و پوسته دوجداره را در انواع فضاهای مسکونی، آموزشی، اداری و غیره مورد توجه قرار می‌دهند (Zomorodian & Tahsildost, 2017؛ حافظی و همکاران, ۱۳۹۵؛ مهدوی نژاد و همکاران, ۱۳۹۵؛ یوسفی و همکاران, ۱۳۹۶ و سخندان سرخابی و خان محمدی, ۱۳۹۴). بیشترین موضوعات مورد پژوهش، کارایی انرژی، آسایش حرارتی و اثرات زیست‌محیطی هستند. در سال‌های گذشته بسیاری از پژوهشگران بر حوزه بهینه‌سازی نما تمرکز کرده‌اند (Fan & Xia, 2017؛ Baglivo *et al.*, 2014؛ Gossard *et al.*, 2013؛ Bichiou & Krarti, 2011؛ Ascione *et al.*, 2015؛ Schwartz *et al.*, 2016؛ Ercan & Elias-Ozkan, 2015؛ Caruso & Kämpf, 2015؛ Futrell *et al.*, 2015؛ Tuhus-Dubrow & Krarti, 2010؛

در مسائل طراحی ساختمان، طراحان معمولاً با چندین هدف متضاد مواجه می‌شوند که نیاز به بهینه‌شدن دارند، همچون بیشینه آسایش حرارتی در مقابل کمینه مصرف انرژی. دو روش مرسوم برای حل مسائل بهینه‌یابی وجود دارد. اولین روش مدل جمع وزنی است. اهداف با یک عامل وزنی مرتبط قاعده‌مند می‌شوند سپس کل تابع هدف از طریق یک معادله که شامل اهداف مختلف و فاکتورهای وزن یافته مربوط به آنها است به دست می‌آید. مشکل این روش، فرآیند تبدیل شدن اهداف به یک تابع هدف است. روش دوم بهینه‌سازی پارتو<sup>۳</sup> است که به دنبال یک جبهه مصالحه‌گر بین اهداف است. جبهه پارتو بر اساس مفهوم غلبه کردن<sup>۴</sup> تعریف می‌شود (Evins, 2013, 3). معنای پارتو بهینه این است که هیچ راه حل ممکن دیگری نیست که بتواند یک هدف را بدون بدتر شدن دیگری بهبود ببخشد و بتواند در این جبهه قرار گیرد. مجموعه‌ای از راه حل‌های مغلوب نشده را مرز پارتو<sup>۵</sup> نام‌گذاری کرده‌اند که با یک منحنی نشان داده می‌شود (Machairas *et al.*, 2014, 2).

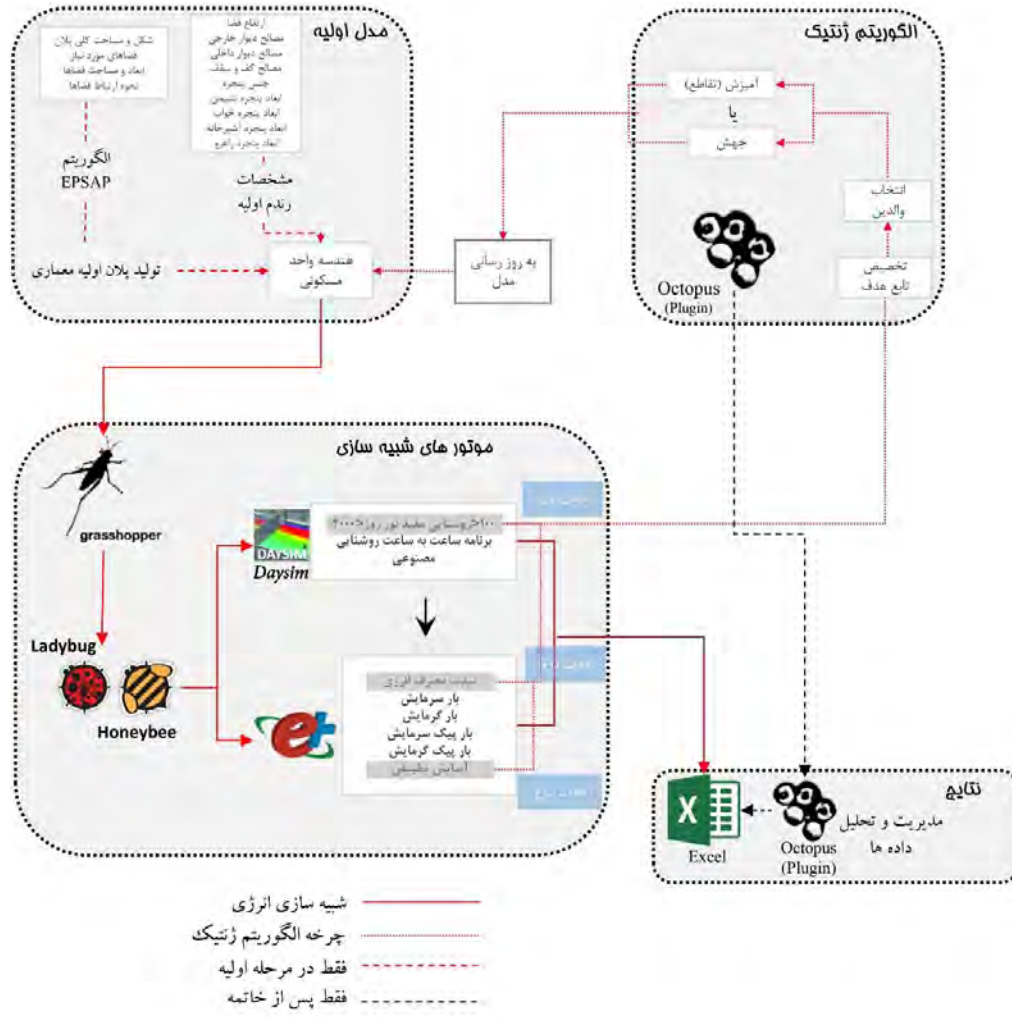
در مطالعه‌های انجام‌شده در سال‌های اخیر، انواع مختلفی از الگوریتم‌های بهینه‌سازی ایجاد شده‌اند و انتخاب الگوریتم بهینه‌سازی متناسب با مسائل از اهمیت بالایی برخوردار است. مطالعاتی که توسط

اوینس (Evins, 2013) و ماچایراس و همکاران (Machairas *et al.*, 2014) در این زمینه انجام پذیرفته است، نشان می‌دهد الگوریتم‌های تصادفی جمعیت محور مثل الگوریتم ژنتیک، بهینه‌سازی ازدحام ذرات و الگوریتم‌های ترکیبی در بهینه‌سازی کارایی ساختمان بیشترین تکرار را داشته‌اند. در این پژوهش‌ها الگوریتمی به عنوان الگوریتم برتر شناخته می‌شود که با بررسی تعداد کمتری از گزینه‌ها جواب بهینه‌تری را ارائه نماید.

مطالعات بسیاری برای مقایسه عملکرد الگوریتم‌های ابتکاری در مسائل بهینه‌سازی ساختمان انجام شده است. نتیجه پژوهش توهوس-دوبرو و کرتی (Tuhus-Dubrow and Krarti, 2010, 3) نشان می‌دهد که الگوریتم ژنتیک کارایی بهتری نسبت به الگوریتم‌های شبیه‌سازی ازدحام ذرات و جستجوی پیوسته ۶۰٪ دارد، چنانچه تنها با اختلاف ۵٪ درصدی در نتیجه نهایی، تعداد حالاتی که این الگوریتم برای رسیدن به جواب بهینه بررسی کرده کمتر از ۵۰٪ تعداد حالاتی است که دو الگوریتم دیگر بررسی کرده‌اند. نتیجه پژوهش مروری اویتز (Evins, 2013, 12) نشان می‌دهد که ۳۸٪ منابع بر بهینه‌سازی پوسته ساختمان، ۲۱٪ بر سامانه‌های تهویه مطبوع، ۱۶٪ بر تولید انرژی‌های تجدیدپذیر و سایر پژوهش‌ها بر راهبردهای کنترل کننده و سامانه‌های روشنایی مرکز بوده‌اند؛ ۵۳٪ مطالعات از بهینه‌سازی تک‌هدفه، ۸٪ از روش جمع وزنی و ۳۹٪ از روش پارتو در بهینه‌سازی چندهدفه استفاده کرده‌اند. در این میان الگوریتم ژنتیک به عنوان رایج‌ترین روش بهینه‌سازی در اکثر مطالعات مورد استفاده قرار گرفته است و پس از آن روش‌های جستجوی مستقیم، تبرید شبیه‌سازی شده و ازدحام ذرات پر طرفدار بوده‌اند. رایج‌ترین هدف بهینه‌سازی با تمرکز ۶۰٪ درصد مطالعات، مصرف انرژی بوده است و سایر اهداف شامل هزینه، آسایش، کارایی نور روز، تولید کربن دی‌اکسید و غیره بوده‌اند.

## روش‌شناسی

چارچوب طراحی پارامتریک در این پژوهش به منظور بهینه‌سازی عملکرد ساختمان چهار رکن اصلی دارد: مدل‌سازی انرژی، مدل‌سازی نور روز، شاخص‌های کارایی ساختمان و بهینه‌سازی. چهار رکن نامبرده باید با یکدیگر یکپارچه شده، سپس با استفاده از ابزارهای مناسب وارد فرآیند طراحی شوند تا بتوانند به صورت خودکار گزینه‌های طراحی را با تغییر در مؤلفه‌ها تولید کنند و پس از شبیه‌سازی کارایی‌های لازم ساختمان، آنها را بهینه‌سازی نمایند. این پژوهش از نسخه ۵ نرم‌افزار راینو، ۹٪ پلاگین گرس‌هاپر به عنوان بستر تولید مدل پارامتریک و الگوریتم‌نویسی، نسخه‌های ۰.۶۴ و ۰.۶۱ افروزه لیدی باگ<sup>۷</sup> و ۰.۶۱ هانی بی<sup>۸</sup>، رابطه‌ای موتورهای شبیه‌ساز انرژی پلاس و دیسیم برای شبیه‌سازی انرژی و نور روز و ۰.۳/۶ اوکتاپوس<sup>۹</sup>، رابط گرافیکی الگوریتم بهینه‌سازی چندهدفه ژنتیک از نوع SPEA2 در گرس‌هاپر استفاده کرد. شکل ۱ نحوه یکپارچه شدن این رکن‌ها را به صورت شماتیک نشان می‌دهد. اگر کلیه حالات ممکن ترکیب مؤلفه‌های تعریف شده بررسی می‌شد، باید نزدیک به یک میلیارد و نهصد میلیون شبیه‌سازی صورت می‌پذیرفت؛ درحالی که با استفاده از الگوریتم بهینه‌سازی چندهدفه ژنتیک تنها با شبیه‌سازی ۱۵۰۰ حالت بدون تکرار جواب‌های بهینه به دست آمد. رسیدن به جواب‌های صحیح با بررسی این میزان اندک فضای نموده از طریق تنظیمات الگوریتم ژنتیک حاصل می‌شود که باید مطالعات و دقت نظر بیشتری برای آن صورت پذیرد.



## فرآیند طراحی پارامتریک و مدل شبیه‌سازی

طراحی پارامتریک در معماری به فرآیند مدل‌سازی هندسه و اطلاعات ساختمان با استفاده از عوامل و توابع اشاره دارد. این گونه از طراحی انعطاف‌پذیری برنامه‌نویسی را دارد، اما رابط کاربری گرافیکی و کدنویسی بصری آن را نسبت به زبان‌های برنامه‌نویسی سنتی بهمراه تکرار پرسندتر می‌کند. مزیت طراحی پارامتریک نسبت به روش طراحی سنتی توانایی تولید سریع گزینه‌های طراحی است.

مؤلفه‌های مورد نظر این پژوهش هم هندسه واحد مسکونی را تحت تأثیر قرار می‌دهند و هم ویژگی‌های غیر هندسه‌ای نظیر مصالح و رنگ دیوار را. مراحل ایجاد مدل پارامتریک بدین صورت است که ابتدا پلان‌های مختلف وارد الگوریتم شده، به زون‌های حرارتی تبدیل می‌شوند و به هر زون اطلاعاتی نظیر میزان تولید انرژی تجهیزات و برنامه حضور افراد داده می‌شود. در ادامه برخی ویژگی‌های هندسی مانند سطح پنجره و ارتفاع اتاق و غیره‌هندسی مانند جنس دیوار خارجی، سقف، کف، نوع و تعداد شیشه پنجره و رنگ سطح نهایی کف، دیوار و سقف به عنوان متغیر، مدل پارامتریک را شکل می‌دهند.

## - تولید هندسه اولیه ساختمان مسکونی

در بیشتر مقالات بهینه‌سازی مدل هندسی اولیه‌ای که مؤلفه‌های متغیر بر روی آن اعمال می‌شود، در نظر گرفتن یک مکعب مستطیل به عنوان حجم اولیه و تغییر مؤلفه‌های مثل ابعاد کف، ارتفاع و سایر متغیرهای هندسی بر روی آن است. در این پژوهش به عنوان یک گام روبروی جلو زون‌بندی، تغییر ابعاد و جهت‌گیری زون‌ها، به بیانی دیگر پلان‌بندی فضای نیز به عنوان یک متغیر به فرآیند بهینه‌سازی وارد شد. از میان پژوهش‌های مختلفی که در زمینه حوزه تولید خودکار پلان‌های ساختمانی انجام شده بود، (Rodrigues et al., 2014; Merrell et al., 2010; Chen et al., 2017; Ahmed et al., 2014; Granadeiro et al., 2013; Dogan et al., 2015) پژوهشی که در سال ۲۰۱۴ توسط رودریگز و همکاران (Rodrigues et al., 2014) در دانشگاه کویمبرا ۱۰ در کشور پرتغال انجام شده بود، به دلیل توجه بیشتر به احتیاجات معماری و تنوع گزینه‌های تولید شده انتخاب گردید. به علت پیچیدگی‌های بازنویسی که تولید پلان تصمیم گرفته شد با ارسال اطلاعات بومی برای این پژوهشگر، تولید پلان‌های مختلف توسط وی انجام پذیرد. برای تولید پلان‌های ساختمانی موردنظر پژوهش، ابعاد و ویژگی‌های عملکردی فضاهای، درب‌ها و پنجره‌ها و الزامات همنشینی فضاهای مسکونی و برخی مشخصات ابعادی دیگر از کتاب معیارهای ابعادی و ملاحظات طراحی فضاهای واحد مسکونی شهری (قاسمزاده، ۱۳۹۱) استخراج و برای وی ارسال شد. با توجه به آمار منتشر شده توسط مرکز آمار ایران مساحت بیشتر واحدهای مسکونی در شهر تهران بین ۷۰ تا ۸۵ مترمربع است و مساحت ۷۵ مترمربع به عنوان عددی میانه برای مساحت واحد مسکونی انتخاب گردید. پس از استخراج داده‌ها از کتاب قاسم‌زاده و تطبیق با ورودی‌های مورد نیاز تولید پلان ساختمانی توسط الگوریتم مقاله رودریگز با نام «برنامه‌ریزی تکاملی برای مسئله توزیع فضاهای»<sup>(۱)</sup>، اطلاعات برای پژوهشگر پرتابل ارسال و از وی خواسته شد ۱۰۰ پلان با زون‌بندی‌های متنوع تولید کند. وی که با استفاده از زبان برنامه‌نویسی جاوا<sup>(۲)</sup> این الگوریتم را نوشته بود، پلان‌های معماری با خروجی DXF تولید کرد که این پلان‌ها به عنوان گزینه‌های پلان‌بندی به الگوریتم این پژوهش وارد شدند.

## - زون‌های حرارتی

پس از شکل‌گیری هندسه اولیه باید حجم هندسی برای شناسایی توسط موتورهای شبیه‌ساز انرژی و نور به زون‌های حرارتی تبدیل شود. ابتدا فضاهای هندسی مثل اتاق خواب، راهرو و غیره به زون حرارتی تبدیل می‌شوند. در این مرحله طبق جدول ۱ زون‌های دارای گرمایش و سرمایش و صرفاً گرمایش جدا می‌شوند.

جدول ۱. تفکیک فضاهای کنترل شده و کنترل نشده در ساختمان

| صرفاً گرمایش                                       | گرمایش و سرمایش             |
|--|-----------------------------|
| اتاق‌های خواب، راهرو، هال و روودی، نشیمن، آشپزخانه | سرمایش‌های بهداشتی، حمام‌ها |

پس از تبدیل حجم‌ها به زون حرارتی باید نوع هم‌نشینی<sup>(۳)</sup> آنها تعیین گردد. از آنجاکه در بیشتر مواقع در اتاق‌خواب‌ها به راهرو باز است و زمانی که نشیمن و آشپزخانه کنار هم قرار می‌گیرند از آشپزخانه اوپن استفاده می‌شود، فرض بر این شد که در این دو حالت فضاهای با یکدیگر تبادل بی‌واسطه نور و انرژی دارند. فرض دیگر شبیه‌سازی این است که واحد مورد بررسی در طبقه میانی یک آپارتمان در بافت شهری قرار گرفته است. درنتیجه از طریق سقف و کف انتقال حرارت صورت نمی‌گیرد. ساختمان‌های اطراف، با ارتفاع‌های مختلف، و طبقات زیرین و رویی نیز به منظور سایه‌اندازی در مدل پارامتریک تولید می‌شوند.

### - جهت‌گیری ساختمان

جهت‌گیری ساختمان به عنوان اولین مؤلفه‌ای که حین فرآیند شکل‌گیری پلان در الگوریتم اعمال می‌شود، به عنوان متغیری ثابت و بر اساس جهت‌گیری سنتی شهر تهران با در نظر گرفتن تابش و جهت وزش باد مطلوب ۱۵ درجه جنوب شرقی فرض شده است.

### - ابعاد پنجره‌ها

توزیع نور روز در فضای داخل به ابعاد و محل پنجره‌ها وابسته است. برای ساده‌سازی مدل پارامتریک می‌توان بدون در نظر گرفتن کیفیت توزیع نور روز، پنجره‌ها را در وسط دیوار در نظر گرفت و تنها با نسبت مساحت پنجره به مساحت جداری که روی آن قرار گرفته‌اند، تغییر ابعاد را اعمال کرد. با بررسی مقالات متعددی در مورد ابعاد پنجره به اقلیم‌های مشابه تهران (Liu et al., 2015; Wang et al., 2005; Ascione et al., 2016; Konis et al., 2016; Azari et al., 2016; Youssef et al., 2016; Wang et al., 2006; Samuelson et al. 2016; Attia et al. 2012; Hygh et al. 2012; Hester et al., 2017; 2017؛ نیاز به کمینه کردن زمان بھینه‌سازی، برای این پژوهش بازه ۱۵ تا ۷۵ درصد به صورت گسسته با تغییر ۱۰ واحدی در نظر گرفته شد. برای دقت بیشتر در فضای نشیمن از مقاله فیاض (۱۴، ۱۳۹۱)، حداقل درصد پنجره ۱۵ درصد مساحت کف در نظر گرفته شد. برای سرویس بهداشتی و حمام نیز به طور ثابت مساحت بازشو به ترتیب ۰/۰ و ۰/۱۵ مترمربع (قاسمزاده، ۱۳۹۱، ۷۳) اعمال می‌شود.

### - ابعاد و جهت‌گیری سایبان‌ها

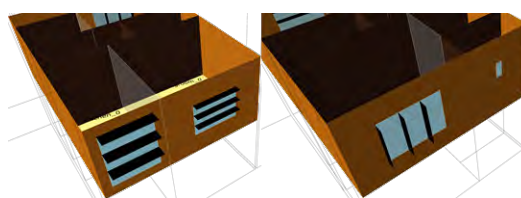
ابعاد سایبان نیز به صورت ثابت فرض شده است. زوایای سایبان به منظور استخراج عمق آن، از مبحث ۱۹ مقررات ملی ساختمان استخراج شده است (جدول ۲).

جدول ۲. زاویه و جهت‌گیری سایبان برای شهر تهران

| غرب  |       | جنوب |                 | شرق  |       | شمال |       | جهت پنجره       |
|------|-------|------|-----------------|------|-------|------|-------|-----------------|
| افقی | عمودی | افقی | زاویه سایبان    | افقی | عمودی | افقی | عمودی | زاویه سایبان    |
| ۷۰   | ۶۵    | -    | تهران - مهرآباد | -    | ۷۰    | ۶۵   | -     | تهران - مهرآباد |

مبنی: مبحث ۱۹ مقررات ملی ساختمان

با الگوریتم‌نویسی در گرس‌های پنجره‌های مختلف، سایبان‌ها بر مبنای اعداد جدول ۲ تولید می‌شوند. به دلیل امکان تولید پنجره‌هایی در ابعاد بزرگ و سایبان‌هایی با عمق بیش از ۱ متر به منظور رعایت ملاحظات اجرایی، سایبان‌های افقی و عمودی روی سطح پنجره توزیع می‌شوند (شکل ۲). بدین صورت که عمق به دست آمده تقسیم بر سه شده و با اندازه‌های مساوی روی سطح پنجره قرار می‌گیرند.



شکل ۲. نحوه توزیع سایبان روی پنجره

## مشخصات اجرایی عناصر ساختمانی

به منظور دستیابی به مصالح مرسوم علاوه بر پایش بازار ساخت و ساز، از سه کتاب منتشر شده توسط مرکز تحقیقات مسکن در زمینه مصالح رایج در دیوارهای خارجی (ریاضی، ۱۳۸۹)، دیوارهای داخل (ریاضی، ۱۳۹۴) و پنجره‌های ساختمانی (ریاضی و ماجدی، ۱۳۸۸) کمک گرفته شد. برای دیوار خارجی در چهار دسته‌بندی مصالح هسته اصلی، آجری، بلوک سفالی، لیکا و هبلکس و چهار دسته‌بندی در میزان عایق حرارتی، ۰، ۵، ۱۰ و ۱۵ سانتی‌متر<sup>۱۴</sup>، مجموعاً ۱۶ حالت مختلف برای دیوار داخلی در سه دسته متداول آجری، بلوک سیمانی و گچ برگ، مجموعاً سه حالت مختلف، مصالح کف با سه سازه مختلف، دال بتنی، عرشه فولادی و تیرچه بلوک<sup>۱۵</sup>، با دو ضخامت عایق مختلف، ۰ و ۱۰ سانتی‌متر، مجموعاً ۶ حالت مختلف و پنجره در سه دسته‌بندی با تعداد جدار شیشه‌ای متفاوت و با دو نوع گاز پرکننده، آرگون و هوا، مجموعاً ۹ حالت مختلف، مطابق جدول ۳ و جدول ۴ به کار گرفته شده است.

جدول ۳. مشخصات دیوار خارجی، دیوار داخلی، کف طبقات و پنجره‌ها

| زمان تأخیر (ساعت) | ضریب انتقال حرارت (W/m <sup>2</sup> K) | ضخامت کلی (متر) | توضیح  | شاسه     | مؤلفه طراحی  |
|-------------------|--|-----------------|--|----------|--|
| ۴/۵۶              | ۱/۹۰۸                                  | .۰/۳            | دولايه آجر ۲۰ سانتی‌متری بدون عایق                             | Ewall-1  | دیوار خارجی، نمای بیرونی از سنگ و نازک کاری گچ از داخل |
| ۶/۸۹              | ۰/۵۳۷                                  | .۰/۲۴۵          | یکلايه آجر ۱۰ سانتی‌متری با ۵ سانتی‌متر عایق حرارتی            | Ewall-2  |  |
| ۷/۲۴              | ۰/۳۶۴                                  | .۰/۲۷۵          | یکلايه آجر ۱۰ سانتی‌متری با ۸ سانتی‌متر عایق حرارتی            | Ewall-3  |  |
| ۷/۶۵              | .۰/۳                                   | .۰/۲۹۵          | یکلايه آجر ۱۰ سانتی‌متری با ۱۰ سانتی‌متر عایق حرارتی           | Ewall-4  |  |
| ۸/۱۶              | ۱/۸۶                                   | .۰/۳۱           | یکلايه با بلوک سفالی ۲۰ سانتی‌متری بدون عایق                   | Ewall-5  |  |
| ۱۰/۳۱             | ۰/۵۳۶                                  | .۰/۲۴۵          | یکلايه با بلوک سفالی ۱۰ سانتی‌متری با ۵ سانتی‌متر عایق حرارتی  | Ewall-6  |  |
| ۱۰/۶۹             | ۰/۳۶۴                                  | .۰/۲۷۵          | یکلايه با بلوک سفالی ۱۰ سانتی‌متری با ۸ سانتی‌متر عایق حرارتی  | Ewall-7  |  |
| ۱۰/۹۷             | .۰/۳                                   | .۰/۲۹۵          | یکلايه با بلوک سفالی ۱۰ سانتی‌متری با ۱۰ سانتی‌متر عایق حرارتی | Ewall-8  |  |
| ۷/۷۸              | .۰/۷۹                                  | .۰/۲۹           | یکلايه بلوک لیکا ۲۰ سانتی‌متر بدون عایق                        | Ewall-9  |  |
| ۱۰/۰۸             | ۰/۴۴۸                                  | .۰/۲۴           | یکلايه بلوک لیکا ۱۰ سانتی‌متری با ۵ سانتی‌متر عایق حرارتی      | Ewall-10 |  |
| ۱۰/۵۴             | ۰/۲۲۱                                  | .۰/۲۷           | یکلايه بلوک لیکا ۱۰ سانتی‌متری با ۸ سانتی‌متر عایق حرارتی      | Ewall-11 |  |
| ۱۰/۸۶             | .۰/۲۷                                  | .۰/۲۹           | یکلايه بلوک لیکا ۱۰ سانتی‌متری با ۱۰ سانتی‌متر عایق حرارتی     | Ewall-12 |  |
| ۵/۷۵              | .۰/۵۷                                  | .۰/۲۹           | یکلايه هبلکس ۲۰ سانتی‌متری بدون عایق                           | Ewall-13 |  |
| ۷/۸۸              | .۰/۲۸۹                                 | .۰/۲۹           | یکلايه هبلکس ۱۰ سانتی‌متری با ۵ سانتی‌متر عایق حرارتی          | Ewall-14 |  |
| ۸/۴۶              | .۰/۲۹                                  | .۰/۲۷           | یکلايه هبلکس ۱۰ سانتی‌متری با ۸ سانتی‌متر عایق حرارتی          | Ewall-15 |  |
| ۸/۸۲              | .۰/۲۴۷                                 | .۰/۲۹           | یکلايه هبلکس ۱۰ سانتی‌متری با ۱۰ سانتی‌متر عایق حرارتی         | Ewall-16 |  |
|                   | ۱/۹۸                                   | .۰/۱۸۵          | آجری ۱۰ سانتی‌متری بدون عایق                                   | Iwall-01 | دیوار داخلی با نازک کاری گچ                            |
|                   | ۱/۱۴                                   | .۰/۱۸           | بلوک سیمانی ۱۰ سانتی‌متری بدون عایق                            | Iwall-02 |  |
|                   | ۲/۵                                    | .۰/۱۲           | گچ برگ ۱۰ سانتی‌متری بدون عایق                                 | Iwall-03 |  |
|                   | ۵/۹۶                                   | .۰/۲۴           | بن مسلح بدون عایق  | Floor-01 |  |
|                   | .۰/۳۲                                  | .۰/۳۴           | بن مسلح با ۱۰ سانتی‌متر عایق حرارتی                            | Floor-02 |  |
|                   | ۶/۶۱                                   | .۰/۱۹           | عرشه فولادی بدون عایق  | Floor-03 |  |
|                   | .۰/۳۲                                  | .۰/۲۹           | عرشه فولادی با ۱۰ سانتی‌متر عایق حرارتی                        | Floor-04 | کف با پوشش سرامیک                                      |
|                   | .۰/۹۸                                  | .۰/۳۹           | تیرچه بلوک پلی استایرن بدون عایق حرارتی                        | Floor-05 |  |
|                   | .۰/۲۵                                  | .۰/۴۹           | تیرچه بلوک پلی استایرن با ۱۰ سانتی‌متر عایق حرارتی             | Floor-06 |  |

مشخصات مربوط به مشخصات حرارتی و فیزیکی پنجره‌ها از نرم‌افزار Window طبق جدول ۴ استخراج شده است.

جدول ۴. مشخصات استخراج شده از نرم افزار Window برای انواع پنجره

| ضریب انتقال حرارت قاب (W/m <sup>2</sup> K) | نوع قاب | -.(VT)** (۱) | (1-.)SHGC* | ضریب انتقال حرارت (W/m <sup>2</sup> K) | نوع شیشه و گاز                            | شناخت | نوع پنجره                          |
|--|---------|--------------|------------|--|---|-------|------------------------------------|
| ۱/۸<br>سانتری مت<br>UPVC                   | ۶/۵     | .۰/۹         | .۰/۸۶۷     | ۵/۸۸                                   | ۴ میلی متر شیشه بدون پوشش                 | Win-1 | یک جدار شیشه                       |
|  |         | .۰/۶۳۸       | .۰/۲۷۷     | ۱/۶۳۶                                  | ۴-۱۳-۶ میلی متر پوشش کم گسلی با گاز هوای  | Win-2 | شیشه دوجداره - هوا - پوشش low-E    |
|  |         | .۰/۸۱۰       | .۰/۷۶۳     | ۲/۶۹۹                                  | ۴-۱۳-۶ میلی متر بدون پوشش با گاز هوای     | Win-3 | شیشه دوجداره - هوا - بدون پوشش     |
|  |         | .۰/۶۳۸       | .۰/۲۷۲     | ۱/۳۳۸                                  | ۴-۱۳-۶ میلی متر پوشش کم گسلی با گاز آرگون | Win-4 | شیشه دوجداره - آرگون - پوشش low-E  |
|  |         | .۰/۸۱۰       | .۰/۷۶۴     | ۲/۵۴                                   | ۴-۱۳-۶ میلی متر بدون پوشش با گاز آرگون    | Win-5 | شیشه دوجداره - آرگون - بدون پوشش   |
|  |         | .۰/۷۱۱       | .۰/۶۰۰     | ۱/۲۴۰                                  | ۴-۱۳-۶ میلی متر پوشش کم گسلی با گاز هوای  | Win-6 | شیشه سه جداره - هوا - پوشش low-E   |
|  |         | .۰/۷۳۸       | .۰/۶۸۴     | ۱/۷۶۳                                  | ۴-۱۳-۶ میلی متر بدون پوشش با گاز هوای     | Win-7 | شیشه سه جداره - هوا - بدون پوشش    |
|  |         | .۰/۷۱۱       | .۰/۶۸۷     | ۱/۰۲۴                                  | ۴-۱۳-۶ میلی متر پوشش کم گسلی با گاز آرگون | Win-8 | شیشه سه جداره - آرگون - پوشش low-E |
|  |         | .۰/۷۳۸       | .۰/۶۸۵     | ۱/۶۲۳                                  | ۴-۱۳-۶ میلی متر پوشش کم گسلی با گاز آرگون | Win-9 | شیشه سه جداره - آرگون - بدون پوشش  |

\* Solar Heat Gain Coefficient

\*\* Visible Transmittance

### جزئیات تأسیسات مکانیکی ساختمان مسکونی

از آنجا که رویکرد این پژوهش مدل سازی دقیق سامانه های مکانیکی نیست، استفاده از مدل های پیش فرض تعریف شده در پلاگین هانی بی در دستور کار قرار گرفت. از میان این سامانه ها، سامانه فن کویل + سامانه تهویه مطبوع که نزدیک ترین گزینه به سامانه های رایج کشور و منطبق با اقلیم تهران بود، انتخاب شد. سایر مشخصات این سامانه بر اساس وضع موجود سامانه ها در ساختمان های ایران استخراج شده است (جدول ۵).

جدول ۵. مشخصات دقیق سامانه گرمایش، سرمایش و تهویه مطبوع

| عنوان                        | میزان     | مشخصات بخش تهویه مطبوع (هوارسانی) |
|------------------------------|-----------|-----------------------------------|
| بهرهوری کلی فن ها            | %۹۰       |                                   |
| بهرهوری موتور فن             | %۹۰       | مشخصات بخش تهویه مطبوع (هوارسانی) |
| متغیر بودن حجم هوای هر فضا   | اعمال شود |                                   |
| گونه استفاده از بازیافت گرما | Sensible  |                                   |
| اثربخشی بازیافت              | %۵۰       | مشخصات بخش سرمایش (چیلر)          |
| COP چیلر                     | ۳         |                                   |
| بهرهوری پمپ موتور چیلر       | %۹۰       | مشخصات بخش گرمایش (بویلر)         |
| بازدهی بویلر                 | %۵۰       |                                   |
| بهرهوری پمپ موتور بویلر      | %۹۰       |                                   |

آستانه‌های دمای هوای داخل در فصل سرد و گرم بر اساس مبحث ۱۹ مقررات ملی ساختمان، ۲۱ و ۲۸ درجه و نرخ تهویه برای فضاهای مختلف برابر  $0.047 \text{ m}^3/\text{s}$  و برای آشپزخانه  $0.047 \text{ m}^3/\text{s}$  در نظر گرفته شد.

### - گرمای تولیدشده توسط افراد و تجهیزات

داده‌های مربوط به میزان سوخت‌وساز فعالیت‌های انسان را در کتاب راهنمای مبانی مهندسی سامانه‌های گرمایش، خنک‌کننده و تهویه مطبوع (ASHRAE, 2013) می‌توان یافت. در جدول ۶ میزان متابولیسم و تولید انرژی تجهیزات آورده شده است، اطلاعات درباره مشخصات تجهیزات از کتاب راهنمای مدل‌سازی ساختمان مسکونی (Hendron & Engebrecht, 2010) استخراج شده است.

جدول ۶. میزان متابولیسم، نوع و میزان بار تجهیزات در فضاهای مختلف واحد مسکونی

| نام زون        | نوع فعالیت      | میزان متابولیسم ( $\text{W}/\text{m}^2 \cdot \text{person}$ ) | نوع تجهیزات                          | بار تجهیزات (W) |
|----------------|-----------------|---|--------------------------------------|-----------------|
| آشپزخانه       | خوردن و پخت‌وپز | ۲۰۷   | یخچال‌فریزر، گاز و فر، ماشین ظرفشویی | ۱۲۵             |
| اتاق خواب      | خوابیدن         | ۷۲  | متنوع                                | ۶.۵             |
| نشیمن          | نشستن           | ۱۰۸   | تلوزیون و پخش‌کننده                  | ۷۷.۳            |
| راهرو          | راه رفتن        | ۲۰۷   | متنوع                                | ۰               |
| هال ورودی      | راه رفتن        | ۲۰۷   | متنوع                                | ۰               |
| سروریس بهداشتی | نشستن           | ۱۰۸   | متنوع                                | ۰               |
| حمام           | حمام کردن       | ۱۲۶   | متنوع                                | ۰               |

منبع: Hendron & Engebrecht, 2010; ASHRAE, 2013

گرمای تولیدشده توسط نرخ سوخت‌وساز بسته به سطح اشغال هر زون متفاوت است. به بیان دیگر، نرخ سوخت‌وساز به تعداد افراد در هر فضا برای هر ساعت سال بستگی دارد (جدول ۷). اعداد نشان‌دهنده نسبت حضور افراد در فضاهای است که در این نمونه یک زوج که هر دو مشغول به کار هستند در نظر گرفته شده است (زمانی که هر دو در یک فضا باشند عدد ۱ یا ۱۰۰ درصد اشغال فضا لحاظ می‌شود). برای زون‌های مختلف فضای مسکونی در هیچ استانداردی عدد ارائه نشده است، ولی در این پژوهش به دلیل اهمیت زون‌ها و نیاز به تمايز در مشخصات حرارتی آنها لازم دیده شد که برای هر فضا برنامه حضور افراد به صورت متفاوت ارائه گردد. از جمله پژوهش‌هایی که این در این زمینه انجام شده است، پایان‌نامه کارشناسی ارشد بورناس و هاو (Bournas & Haav, 2016, 36) است که با کمک اطلاعات حاصل آن، تجربیات شخصی و برخی مفروضات، برنامه اختصاصی برای این پژوهش نگاشته شد. بدیهی است که به منظور تقویت اعتبار برنامه حضور افراد، نیاز به پژوهشی میدانی از یک جامعه هدف معتبر است که از حوصله این پژوهش خارج است.

جدول ۷. برنامه زمان‌بندی حضور افراد برای روزهای هفته و پایان هفته

| آخر هفته و تعطیلات - میزان حضور افراد |               |       |      |      |          |       | روزهای هفت - میزان حضور افراد |               |       |      |      |          |       | ساعت روز    |
|---------------------------------------|---------------|-------|------|------|----------|-------|-------------------------------|---------------|-------|------|------|----------|-------|-------------|
| حمام                                  | سرمیس بهداشتی | راهرو | هال  | خواب | آشپزخانه | نشیمن | حمام                          | سرمیس بهداشتی | راهرو | هال  | خواب | آشپزخانه | نشیمن |             |
| .                                     | .             | .     | .    | ۱    | .        | .     | .                             | .             | .     | .    | ۱    | .        | .     | ۰۷:۰۰-۰۷:۰۰ |
| .                                     | .             | .     | .    | ۱    | .        | .     | ۰/۱                           | ۰/۱           | ۰/۰۵  | ۰/۰۵ | .    | ۰/۲      | .     | ۰۸:۰۰-۰۸:۰۰ |
| .                                     | .             | .     | .    | ۱    | .        | .     | .                             | .             | .     | .    | .    | .        | .     | ۰۹:۰۰-۱۰:۰۰ |
| ۰/۳۵                                  | ۰/۰۵          | ۰/۱   | .    | .    | ۰/۵      | .     | .                             | .             | .     | .    | .    | .        | .     | ۱۰:۰۰-۱۰:۰۰ |
| ۰/۰۵                                  | ۰/۰۵          | ۰/۱   | .    | .    | .        | ۰/۸   | ۰                             | .             | .     | .    | .    | .        | .     | ۱۱:۰۰-۱۱:۰۰ |
| .                                     | ۰/۰۵          | ۰/۰۵  | ۰/۰۵ | .    | ۰/۱      | ۰/۴   | ۰                             | .             | .     | .    | .    | .        | .     | ۱۸:۰۰-۱۸:۰۰ |
| ۰/۰۵                                  | ۰/۰۵          | ۰/۰۵  | ۰/۰۵ | .    | ۰/۶      | ۰/۳   | ۰/۰۵                          | ۰/۰۵          | ۰/۰۵  | ۰/۰۵ | .    | ۰/۶      | ۰/۳   | ۱۹:۰۰-۱۸:۰۰ |
| .                                     | ۰/۰۵          | ۰/۱   | .    | .    | ۰/۲      | ۰/۶۵  | ۰                             | ۰/۰۵          | ۰/۱   | .    | .    | ۰/۲      | ۰/۶۵  | ۲۰:۰۰-۱۹:۰۰ |
| .                                     | ۰/۰۵          | ۰/۱   | .    | .    | .        | ۰/۸۵  | ۰                             | ۰/۰۵          | ۰/۱   | .    | .    | .        | ۰/۸۵  | ۲۱:۰۰-۲۰:۰۰ |
| .                                     | ۰/۰۵          | ۰/۱   | .    | .    | .        | ۰/۸۵  | ۰                             | ۰/۰۵          | ۰/۱   | .    | .    | .        | ۰/۸۵  | ۲۲:۰۰-۲۱:۰۰ |
| ۰/۴                                   | ۰/۰۵          | ۰/۰۵  | .    | ۰/۵  | .        | ۰     | ۰/۳۵                          | ۰/۰۵          | ۰/۱   | .    | .    | .        | ۰/۵   | ۲۳:۰۰-۲۲:۰۰ |
| .                                     | .             | .     | .    | ۱    | .        | .     | .                             | .             | .     | .    | ۱    | .        | .     | ۲۴:۰۰-۲۳:۰۰ |

### - تنظیمات مورد استفاده برای شبیه‌سازی آسایش هوای داخل

برای سنجش آسایش محیط داخل ساختمان نیاز است سامانه‌های مکانیکی خاموش شوند و میزان آسایش افراد در شرایطی که تنها سامانه‌های غیرفعال به کار گرفته شده‌اند سنجیده شود. در این حالت برای موتور شبیه‌ساز انرژی جریان تهویه طبیعی در محیط داخل تعریف شده است (جدول ۸).

جدول ۸. مشخصات تهویه طبیعی برای شبیه‌سازی شرایط آسایش هوای داخل

| متغیر   | مقادیر پیش‌فرض                        |
|---|---------------------------------------|
| نوع تهویه طبیعی                               | تهویه طبیعی از پنجره‌ها <sup>۱۶</sup> |
| حداقل دمای داخل برای جریان یافتن تهویه طبیعی  | ۲۴                                    |
| حداکثر دمای خارج برای جریان یافتن تهویه طبیعی | ۲۸                                    |
| امکان تهویه عبوری <sup>۱۷</sup>               | اعمال شود                             |

### - شبیه‌سازی نور روز

شبیه‌سازی نور روز سالانه با موتور ریدینس انجام می‌پذیرد. جزئیات نازک کاری اجزای مختلف، دیوارها، سقف و کف، که از مصالح مرسوم بازار انتخاب شده در مدل‌سازی پارامتریک (جدول ۹) به کار گرفته شده است. اطلاعات مربوط به مصالح برای موتور شبیه‌ساز ریدینس از سایت رینهارت (Reinhart, 2010) استخراج شده است. در شبیه‌سازی سایبان نیز در نظر گرفته شد که به عنوان جسم مات برای موتور ریدینس تعریف شد تا تأثیر بازتابندگی آنها نیز در شدت روشنایی فضای داخل لحاظ گردد.

## جدول ۹. جزئیات نازک کاری برای دیوارها، سقف و کف

| نام          | بازتاب | زیری   | آبی     | سبز     | قرمز    | نام سطح استفاده شده |
|--------------|--------|--------|---------|---------|---------|---------------------|
| طرح چوب      | . / ۱  | . / .۸ | . / ۱۹۵ | . / ۴۱۵ | . / ۶۴۰ | دیوار، کف           |
| صفحه سیمانی  | .      | .      | . / ۲۶۰ | . / ۲۵۱ | . / ۲۳۴ | دیوار، سقف          |
| گچ سفید      | .      | .      | . / ۶۳۳ | . / ۷۰۶ | . / ۷۲۶ | دیوار، سقف          |
| طرح آجر      | .      | .      | . / ۰۹۷ | . / ۱۵۵ | . / ۳۶۴ | دیوار، کف، سقف      |
| گرانیت مشکی  | .      | .      | . / ۱۰۳ | . / ۰۹۸ | . / ۱۰۱ | کف،                 |
| حاکستری (بن) | .      | .      | . / ۱۴۵ | . / ۱۹۴ | . / ۲۴۴ | کف، سقف             |
| رنگ شامپاینی | . / ۴  | ۱      | . / ۵۸۰ | . / ۶۴۱ | . / ۷۰۰ | دیوار، سقف          |

منبع: Reinhart, 2010

شبکه تحلیل ریدینس در ارتفاع ۷۵ سانتی متری زمین قرار گرفته و ابعاد داخلی شبکه ها ۱ متر در نظر گرفته شده است. انتخاب عدد یک متر با علم به این نکته بوده است که هرچه ابعاد شبکه ها کمتر باشد دقیق محاسبه افزایش می یابد ولی زمان شبیه سازی هم به مراتب بیشتر می شود. با توجه به برخی از پژوهش ها (Bournas & Haav, 2016, 111) ابعاد ۱ متر هم دقیق نسبی در تحلیل نور روز دریافتی را ارائه می نماید و هم زمان کمتری را برای شبیه سازی به خود اختصاص می دهد.

## - حسگر نور روز و حضور افراد

برنامه ساعت به ساعت یک حسگر در فضا از خروجی هایی است که نرم افزار دیسیم به ما ارائه می کند و بیان کننده مقدار نور روز نسبت به حد تعیین شده برای آن است. در این پژوهش حداقل میزان روشنایی طبق اطلاعاتی که انجمن روشنایی ایران (سaba, ۱۳۹۱) ارائه کرده ۲۰۰ لوکس در نظر گرفته شد. نکته ای که در اغلب پژوهش ها به آن توجه نشده این است که بعد از به دست آوردن برنامه زمان بندی اصلاح شده نور مصنوعی با نور روز آن را با برنامه حضور افراد در فضا تلفیق نمی کند و مستقیماً این برنامه زمان بندی را به فرآیند تحلیل انرژی وارد می کنند. از تلفیق برنامه حضور افراد با برنامه حسگر نور روز به برنامه زمان بندی استفاده از روشنایی مصنوعی دست پیدا می کنیم. اعمال این حسگرها باعث کاهش بار روشنایی مصنوعی تا ۷۰ درصد در نمونه های مورد بررسی این پژوهش شده است.

## - بهینه یابی

در این پژوهش با توجه به مقالات موروری در زمینه الگوریتم ها و روش های بهینه سازی ساختمان (Evins, 2014, 106, Machairas et al., 2013, 12) و برنامه های موجود بهینه سازی برای پلاگین گرس هاپر، از الگوریتم ژنتیک، پر کاربرد ترین و کارترین الگوریتم در بهینه سازی ساختمان، برای ارزیابی گزینه های طراحی بر پایه الگوریتم تکاملی پارتو تقویت شده <sup>۱۸</sup> (Zitzler et al., 2001)، افزونه اوکتاپوس در گرس هاپر، استفاده شده است.

در هر مرحله از بهینه سازی تعدادی از راه حل ها درون فرآیند نگهداشته می شوند، در حالی که بقیه حذف می گردند. مواردی که نگهداشته می شوند، آنها بی هستند که الگوریتم بهینه سازی را همگرا خواهند کرد. آمیزش یک عملگر است که به همگرایی کمک می کند. نرخ آمیزش بالا می تواند الگوریتم ژنتیک را به عرصه «بهینه محلی» سوق دهد که قابل قبول نیست. جهش می تواند از این مشکل جلوگیری کند، اما نرخ

زیاد جهش (بیش از ۷/۰) نیز غیرقابل قبول است چراکه به الگوریتم ژنتیک دیگر اجازه همگرا شدن به سمت مجموعه راه حل های بهینه را نمی دهد. با توجه به پژوهش های مرتبط، بهترین عملکرد را ترکیبی از نخبگان قوی (بیش از ۷/۰) و نرخ جهش زیاد (حدود ۵/۰) به وجود می آورد و بدترین عملکرد با ترکیب نخبگی بالا و نرخ جهش پایین حاصل می شود.

جدول ۱۰. تنظیمات استفاده شده برای الگوریتم ژنتیک در این پژوهش را نشان می دهد. اندازه جمعیت، تعداد راه حل های استفاده شده در جمعیت اولیه را نشان می دهد. الگوریتم با تولید راه حل های تصادفی شروع می شود تا زمانی که به این عدد برسد. احتمال جهش، درصد ژن هایی را که توسط جهش متأثر می شوند نشان می دهد و این عدد باید با اندازه جمعیت مرتبط باشد.

ذکر این نکته ضروری است که در نرم افزار گرس هاپر تنها افزونه اوکتاپوس که بهینه سازی چند هدفه را انجام می دهد متغیرهای الگوریتم ژنتیک را دریافت می کند و افزونه گالاپاگوس ۱۹ که بهینه سازی تک هدفه با الگوریتم ژنتیک را انجام می دهد، قادر به دریافت این تنظیمات نیست و از مجموعه ای از پیش فرض ها بهره می برد که ممکن است در مسائل مختلف باعث ایجاد مشکلاتی در رسیدن به پاسخ بهینه شود.

جدول ۱۰. تنظیمات اولیه استفاده شده برای الگوریتم ژنتیک

| نخبگی | نرخ جهش | نرخ آمیزش | اندازه جمعیت | احتمال جهش |
|-------|---------|-----------|--------------|------------|
| ۰/۶۰  | ۰/۶۰    | ۰/۷۰      | ۱۰۰          | ۰/۰۱       |

جدول ۱۱. خلاصه ای از مؤلفه های استفاده شده در پژوهش

| ردیف | نام متغیر                               | نوع متغیر | بازه   | میزان افزایش |
|------|---|-----------|--|--------------|
| ۱    | نوع پلان بندي                           | گسسته     | ۱۰۰ مورد                                     | ۱ واحد       |
| ۲    | ارتفاع مقيد طبقه                        | گسسته     | ۴-۲۶ متر                                     | ۰.۲ متر      |
| ۳    | جهت گيری ساختمان (جهت شمال)             | ثبت       | ۱۵ درجه شمال غربی                            | -            |
| ۴    | نسبت مساحت پنجره به جدار نشیمن          | گسسته     | ۷۵ کف تا ۱۵ درصد مساحت کف تا درصد مساحت جدار | ۱۰ واحد      |
| ۵    | نسبت پنجره به جدار اتاق خواب و آشپزخانه | گسسته     | ۷۵-۱۵٪                                       | ۱۰ واحد      |
| ۶    | سطح پنجره سرویس بهداشتی                 | ثبت       | ۰,۱ مترمربع                                  | -            |
| ۷    | سطح پنجره حمام                          | ثبت       | ۰,۱۵ مترمربع                                 | -            |
| ۸    | مصالح دیوار خارجی                       | گسسته     | ۱۶ مورد                                      | طبق جدول ۳   |
| ۹    | مصالح دیوار داخلی                       | گسسته     | ۳ مورد                                       |              |
| ۱۰   | مصالح کف                                | گسسته     | ۶ مورد                                       |              |
| ۱۱   | مصالح پنجره                             | گسسته     | ۹ مورد                                       | طبق جدول ۴   |
| ۱۲   | نازک کاري دیوارها                       | گسسته     | ۵ مورد                                       | طبق جدول ۱۰  |
| ۱۳   | نازک کاري کفها                          | گسسته     | ۴ مورد                                       |              |
| ۱۴   | نازک کاري سقف                           | گسسته     | ۵ مورد                                       |              |
| ۱۵   | ساييان پنجره های شمالی                  | ثبت       | زاویه سایيان عمودی غربی برابر ۶۵ درجه        | -            |
| ۱۶   | ساييان پنجره های جنوبی                  | ثبت       | زاویه سایيان افقی برابر ۶۰ درجه              | -            |

### - مشخصات توابع هدف شبیه‌سازی

خروجی شبیه‌سازی نور روز، روشنایی مفید نور روز در بازه بین ۱۰۰ تا ۲۰۰۰ لوکس است. هدف، بیشینه کردن روشنایی مفید نور روز است. روشنایی مفید نور روز به دلیل دو حد بالا و پایین روشنایی که دارد بر سایر معیارهای ارزیابی نور روز ارجحیت دارد. هدف از بهینه‌سازی انرژی، کمینه‌سازی شدت مصرف انرژی است. شدت مصرف انرژی از مجموع بارهای گرمایش، سرمایش، روشنایی، تجهیزات، پمپ‌ها و فن‌ها، در بازه سالانه تقسیم بر مساحت ساختمان به دست می‌آید.

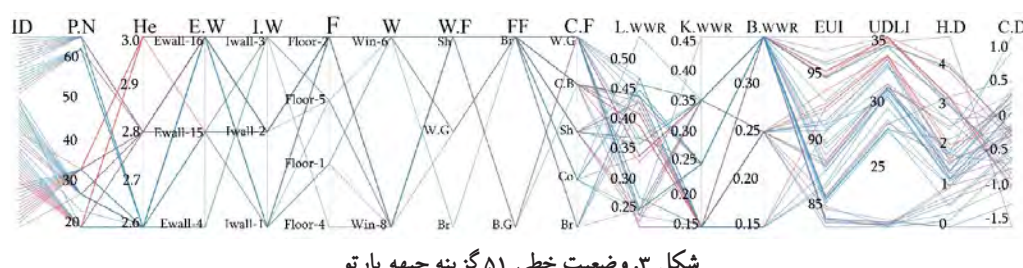
در انتها برای سنجش آسایش افراد و میزان تأثیر راهکارهای غیرفعال در آسایش محیط داخل، معیار آسایش تطبیقی مورد استفاده قرار می‌گیرد. ارجحیت آسایش تطبیقی بر PMV در این پژوهش علاوه بر مباحث نظری، سریع‌تر بودن روند محاسباتی آن است. در مقایسه با سایر توابع هدف بررسی سالانه این تابع به زمان بسیار زیادی (هر تحلیل سالانه حدود ۳۰ دقیقه) نیاز دارد، بدین منظور این تابع هدف در دو بازه زمانی سردترین و گرم‌ترین هفته سال بجای دوره سالانه، به‌منظور کمینه‌سازی شبیه‌سازی شده است.

### یافته‌ها

در بهینه‌سازی چندهدفه از افزونه اوکتاپوس بهره گرفته شده است. درباره این افزونه و الگوریتم ژنتیک چندهدفه، از نوع الگوریتم تکاملی پارتو تقویت شده در بخش‌های پیشین توضیحاتی داده شده است. در مجموع برای این بهینه‌سازی ۲۳۰۰ شبیه‌سازی در ۲۱ نسل انجام گرفت، البته در بهینه‌سازی چندهدفه با اوکتاپوس امکان انتخاب مؤلفه تکراری وجود دارد که یکی از مشکلات این افزونه است. برای مثال از ۲۳۰۰ شبیه‌سازی حدود ۸۰۰ شبیه‌سازی تکراری انجام شده، درنتیجه برای تحلیل داده‌ها حدود ۱۵۰۰ شبیه‌سازی باقی می‌ماند که با استفاده از افزونه دیگری به نام اوکتاپوس واضح‌گرای ۲۰۰ می‌توان این نقیصه را در مطالعات آتی رفع کرد. در ادامه به بررسی جواب‌هایی که در جبهه پارتو این بهینه‌سازی ظاهر شده‌اند، پرداخته می‌شود.

### گزینه‌های جبهه پارتو در بهینه‌سازی چندهدفه

در مجموع ۵۱ گزینه در جبهه پارتو نهایی قرار گرفته است. مبنای تحلیل گزینه‌های برتر فراوانی گزینه‌ها در این جبهه است و باید توجه داشت که در این گزینه‌ها همزمان سه تابع هدف در بهینه‌ترین حالت قرار دارند و صرفاً کمترین مصرف انرژی را ارائه نمی‌دهند. شکل ۳ وضعیت خطی ۵۱ گزینه جبهه پارتو را نمایش می‌دهد. این نمودار خطی که می‌توان کل یا بخشی از گزینه‌های شبیه‌سازی شده را روی آن نشان داد به میزان زیادی می‌تواند به کمک طراح بیاید. بدین صورت که با اعمال محدودیت روی هر کدام از عوامل، راه حل‌هایی به طراح ارائه می‌شود که می‌تواند از بین آنها گزینه موردنظر را انتخاب کند. همان‌طور که مشاهده می‌شود در بالای جدول در ابتداء مؤلفه‌هایی که مورد بهینه‌سازی قرار گرفته‌اند آورده شده و در انتها توابع هدف. توسعه کار با این نمودار در قالب یک الگوریتم در گرس‌هاپر یا نرم‌افزاری جداگانه می‌تواند جزء مطالعاتی آتی دسته‌بندی شود.

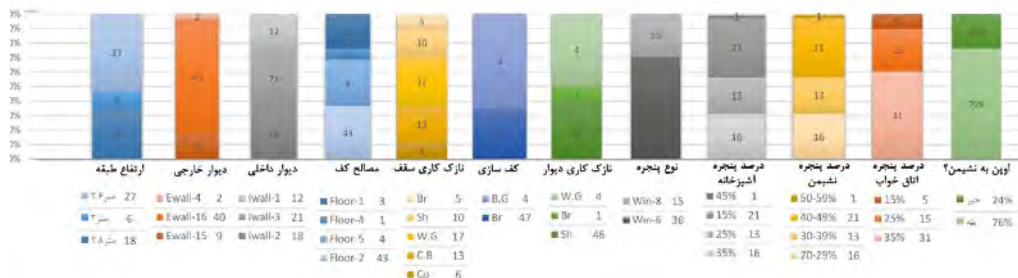


شکل ۳. وضعیت خطی ۵۱ گزینه جبهه پارتو

EUI)=شدت مصرف انرژی، UDL=میزان مفید نور روز، C=D.C=آسایش تطبیقی در سرتاسرین هفته سال، D.H=آسایش تطبیقی در گرم ترین هفته سال، P.N=شماره پلان، He=E.W=ارتفاع اتاق، I.W=مصالح دیوار خارجی، F=Mصالح کف، W=جنس شیشه پنجره، W.F=L.WWR=درصد پنجره به دیوار نشیمن، K.WWR=درصد پنجره به دیوار آشپزخانه، B.WWR=درصد پنجره به دیوار اتاق خواب، C.F=کف سازی، N.WWR=نازک کاری سقف، W.G=کچ سفید، C.B=صفحه سیمانی، Wo=طرح چوب، Co=حاکستری (بتن)، Br=طرح آجر، G=B.G=گرانیت مشکی، Sh=Rnگ شامپاینی

شکل ۴ فراوانی مؤلفه‌های مختلف را در جبهه پارتو نشان می‌دهد. در تحلیل جبهه پارتو دو رویکرد وجود دارد، یک رویکرد صرفاً بهینه‌ترین گزینه برای گزینه‌های طراحی را به عنوان جواب معرفی می‌کند و رویکرد دیگر گزینه‌های پر تکرار را به عنوان جواب نهایی معرفی می‌نماید. به دلیل عدم قطعیت موجود در جواب‌هایی که توسط الگوریتم‌های تکاملی عرضه می‌شود، این پژوهش رویکرد دوم را در تحلیل و ارائه گزینه‌های برتر برگزیده است. بر همین اساس در جدول ۱۲ گزینه برتر که حاصل پر تکرارترین گزینه‌ها در جبهه پارتو بوده، ارائه شده است.

در جبهه پارتو هیچ پلانی حتی به صورت نسبی نیز بیشتر تکرار نشده است. پلان شکل ۵ با ۱۲ مرتبه، پلان شکل ۶ با ۱۲ مرتبه و پلان شکل ۷ با ۱۰ مرتبه تکرار، پر تکرار ترین پلان‌ها در جبهه پارتو بودند. ذکر این نکته ضروری است که پلان و زون‌بندی فضایی از مواردی است که معمار سعی می‌کند بسته به تفکر خود و نیازهای پروژه آن را طراحی کند. بدین منظور الزاماً پر تکرار ترین پلان به عنوان پلان برتر انتخاب نمی‌شود و معمار می‌تواند از میان چند گزینه مناسب طرح مورد نظر خود را انتخاب کند. شکل ۸ بنا نشان دادن فراوانی جهت‌گیری فضاهای در جبهه پارتو، جنوبی بودن نشیمن و آشپزخانه و شمالی بودن آشپزخانه در کنار غیر نورگیر بودن همه جبهه‌ها یا بخشی از فضاهای خدماتی را مشخص می‌کند. از میان فضاهای اصلی تنها آشپزخانه هم در شمال و هم در جنوب پلان، با تکرار بیشتر در جنوب قرار گرفته است. نکته قابل ذکر برای این فضا این است که متوسط درصد پنجره به دیوار آشپزخانه شمالی ۳۵ درصد و برای آشپزخانه جنوبی ۲۱ درصد است که نشان می‌دهد با جایه‌جایی فضا، به منظور تأمین اهداف، سایر مؤلفه‌های فضایی نیز باید تغییر نمایند.



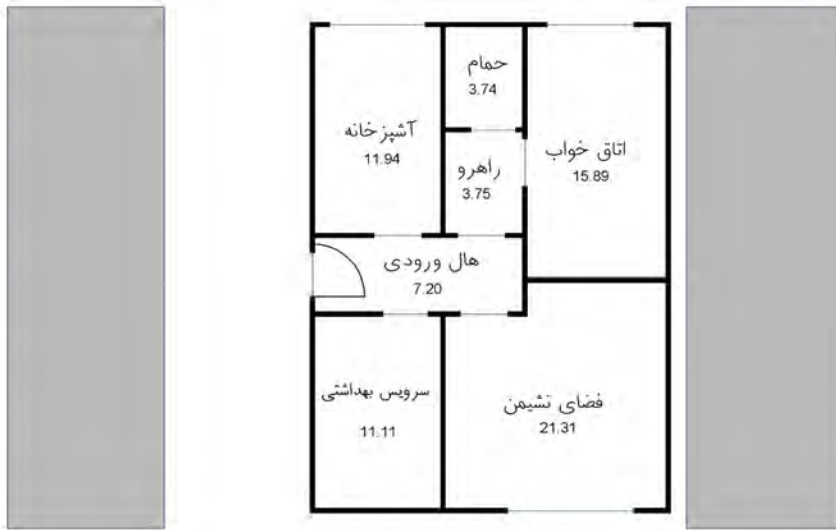
شکل ۴. نمودار فراوانی مؤلفه‌ها در جبهه پارتو (رجوع به توضیحات شکل ۳)

جدول ۱۲. گزینه‌های برتر جبهه پارتو

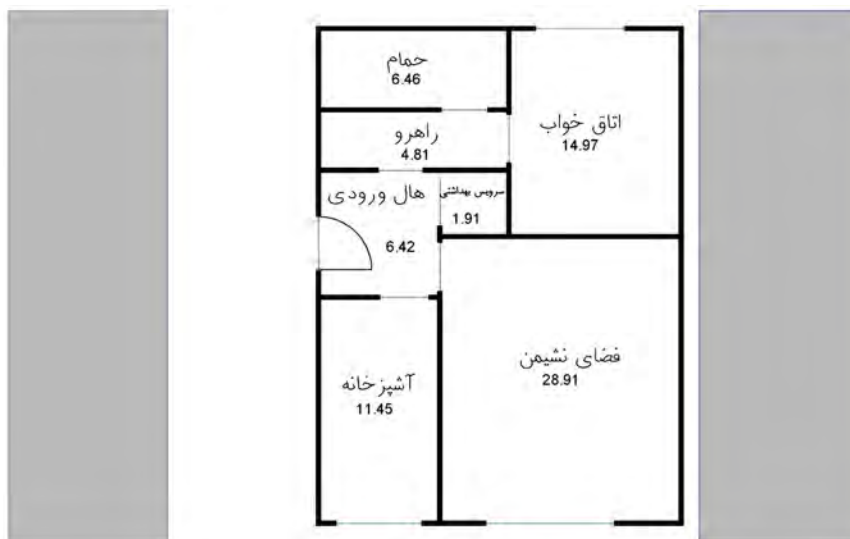
| نام مؤلفه   | طبقه (متر) | ارتفاع | جنس خارجي                                 | جنس دیوار داخلی                           | جنس کف                | نازک کاری سقف | سازی    | پنجره دیوار | آشپزخانه (درصد)     | دراصد پنجره نشیمن (درصد) | دراصد پنجره اتاق خواب (درصد) | دراصد پنجره دهدار | اوین به نشین؟ |    |
|-------------|------------|--------|---|---|-----------------------|---------------|---------|-------------|---------------------|--------------------------|------------------------------|-------------------|---------------|----|
| گرینه بهیمه | ۲/۶        | ۱۰     | هبلکس ۱۰ سانتی متر با عایق سانسی متر عایق | گچبرگ ۱۰ سانتی متر با عایق سانسی متر عایق | دال بتنی با سانتی متر | گچ            | طرح آجر | رنگ شامپاین | جداره با پوشش low-E | سده                      | بله                          | ۳۵                | ۴۹-۴۰         | ۱۵ |



شکل ۵. پلان شماره یک جبهه پارتو



شکل ۶. پلان شماره دو جبهه پارتو



شکل ۷. پلان شماره سه جبهه پارتو



شکل ۸. نمودار فراوانی جهت گیری فضاهای در جبهه پارتو

در دو بخش پیش رو با دو روش مختلف، تحلیل حساسیت برای توابع هدف انجام می‌شود.

### تحلیل حساسیت

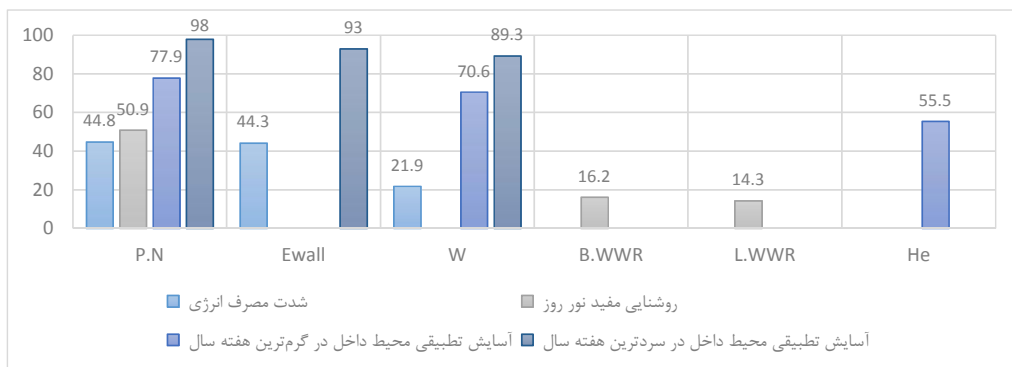
تحلیل حساسیت برای هر مؤلفه بر اساس رابطه ۱ (Samuelson *et al.* 2016) محاسبه می‌شود. تحلیل حساسیت یک روش برای اتخاذ تصمیم با ایجاد یک نظام اولویت‌بندی برای مؤلفه‌های طراحی است.

$\bar{x}_{worst}$  = متوسط مقدار تابع هدف کل حالات طراحی برای بدترین حالت مؤلفه موردنظر

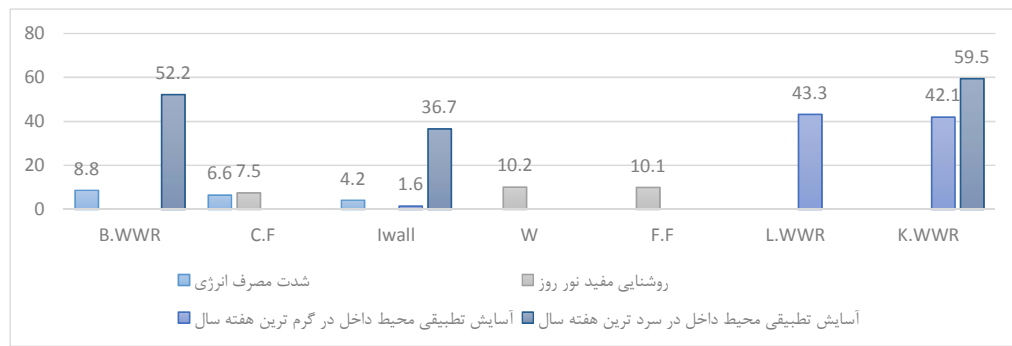
$\bar{x}_{best}$  = متوسط مقدار تابع هدف کل حالات طراحی برای بهترین حالت مؤلفه موردنظر

نتایج تحلیل حساسیت برای توابع هدف به‌طور خلاصه در شکل‌های ۹ و ۱۰ نشان داده شده است. مؤثرترین مؤلفه‌ها در تابع هدف شدت مصرف انرژی، پلان‌بندی (با شاخص ۴۸/۸٪) و مصالح دیوار

خارجی (با شاخص ۳/۴۴٪)، در روشنایی مفید نور روز پلانبندی (با شاخص ۹/۵۰٪)، درصد پنجره به دیوار اتاق خواب (با شاخص ۲/۱۶٪) و نشیمن (با شاخص ۳/۱۴٪)، در آسایش تطبیقی محیط داخل در گرمترین هفته سال پلانبندی (با شاخص ۹/۷۷٪)، جنس پنجره (با شاخص ۶/۷۰٪) و ارتفاع مفید (با شاخص ۵/۵۵٪) و در آسایش تطبیقی محیط داخل در سردترین هفته سال پلانبندی (با شاخص ۸/۹۸٪)، مصالح دیوار خارجی (با شاخص ۳/۹۳٪) و جنس پنجره (با شاخص ۳/۸۹٪) هستند. کمترین هفته سال دیوار داخلی (به شدت مصرف انرژی و آسایش تطبیقی محیط داخل در سردترین و گرمترین هفته سال دیوار داخلی (به ترتیب با شاخص‌های ۲/۱۶٪ و ۷/۳۶٪) و در روشنایی مفید نور روز سطح نهایی سقف (با شاخص ۵/۷۷٪) بوده است.



شکل ۹. نمودار نتایج تحلیل حساسیت برای سه تابع هدف مختلف که بیشترین اثر را دارند (به توضیحات شکل ۳ مراجعه شود)



شکل ۱۰. نمودار نتایج تحلیل حساسیت برای سه تابع هدف مختلف که کمترین اثر را دارند (به توضیحات شکل ۳ مراجعه شود)

## نتیجه‌گیری

یکی از چالش‌های اصلی میان معماری و بهینه‌سازی کارایی انرژی ساختمان، پیچیدگی و عدم درک معمار از چگونگی و تحلیل نتایج شبیه‌سازی در فرآیند طراحی معماری است. در این پژوهش سعی بر این بود که در جهت فهم بهتر فرآیند بهینه‌سازی کارایی ساختمان در ابتدای طراحی و نحوه استفاده از نتایج آن به معمار یاری رسانده شود و ارتباط وی با این حوزه طراحی بهبود یابد.

در مورد اعتبار بررسی حدود ۰/۰۸ درصد کل حالات ممکن و مزیت الگوریتم ژنتیک به سایر الگوریتم‌ها توجه به این مطلب مهم می‌نماید که در انتهای فرآیند بهینه‌سازی هیچ تضمینی وجود ندارد

که بهترین جواب ممکن به دست بیاید. الگوریتم‌های تکاملی سعی دارند در کمترین زمان بهترین جواب ممکن را ارائه دهند که این مهم با عدم قطعیتی که در تصمیم‌گیری‌های مراحل اولیه فرایند طراحی وجود دارد نیز تطابق دارد. در مورد نتایج هم باید به مجموعه گزینه‌های بهینه ظاهر شده در منحنی پارتو توجه و از این مجموعه جواب، نتایجی را استخراج کرد. باید توجه داشت که صرف اتکا به بهترین جوابی که الگوریتم ارائه می‌دهد و جاهت تعمیم‌پذیری ندارد. در این پژوهش نیز نتیجه‌گیری‌ها بر اساس تعداد تکرار گزینه‌های ظاهر شده در منحنی پارتو بوده است.

بنابراین می‌توان برای یک واحد مسکونی ۷۵ متری در شهر تهران گزینه‌های زیر را برای دستیابی به طراحی انرژی‌کارا ارائه نمود:

- در پلان‌بندی قرارگیری نشیمن و آشپزخانه در کنار هم در جبهه جنوبی، طراحی آشپزخانه به صورت اوپن و قرارگیری اتاق خواب در بخش شمالی واحد باعث کاهش مصرف انرژی و افزایش استفاده از گرمای تولید شده توسط افراد و تجهیزات می‌شود که آسایش غیرفعال محیط داخل را در فصل سرد افزایش می‌دهد.
- قرارگیری سرویس بهداشتی و حمام در جبهه غیرنورگیر و در میانه پلان واحد مسکونی هم باعث می‌شود فضاهای اصلی از نور طبیعی بهره ببرند و هم به دلیل استفاده غیرمستمر، در موقع عدم استفاده از این فضاهای اتلاف حرارت از طریق جدار به فضای خارج وجود نداشته باشد.
- عدم استفاده از ترکیب‌بندی دیوار خارجی با زمان تأخیر زیاد در این پژوهش بیش از ۹ ساعت.
- استفاده از عایق حرارتی ۱۰ سانتی‌متری برای دیوار خارجی، گزینه‌ای بهینه از نظر صرفه‌جویی انرژی و آسایش حرارتی برای واحد مسکونی.
- دیوار داخلی اثرگذاری بسیار کمی بر آسایش محیط داخل و شدت مصرف انرژی داشته و مصالح آن اهمیت چندانی ندارد.
- نیاز به مصالح با ظرفیت حرارتی زیاد برای کف و سقف باعث افزایش آسایش حرارتی افراد در فضاهای اصلی واحد مسکونی می‌شود.
- استفاده از دال بتنی به عنوان سازه کف و سقف به دلیل ظرفیت حرارتی بالای بتن.
- ترجیح استفاده از شیشه‌های سه جداره برای پنجره با استفاده از پوشش کم‌گسیل.
- نسبت مساحت پنجره به دیوار برای اتاق خواب (جبهه شمالی) ۳۵ درصد، آشپزخانه (جبهه جنوبی) ۱۵ درصد و بازه ۴۰ تا ۴۵ درصد برای نشیمن (جبهه جنوبی)، مقادیری است که به واسطه آن در اکثر توابع در حالات بهینه تکرار شده‌اند.
- توجه به گونه‌های بهینه پلان‌بندی، مصالح دیوار خارج و نوع پنجره می‌تواند، بیش از سایر مؤلفه‌های معماری، طراح را به طرحی پایدار و انرژی‌کارا نزدیک کند.

## تشکر و قدردانی

نگارندگان بر خود لازم می‌دانند از دکتر انگنیو رو دریگز<sup>۲۱</sup> تشکر ویژه‌ای داشته باشند که به طور کامل در این پژوهه با ما همکاری کردن و طبق مشخصات ارسالی برای ایشان، پلان‌های مسکونی را با استفاده از نرم‌افزار نوشته شده توسط خودشان در اختیار نگارندگان قرار دادند.

## پی‌نوشت‌ها

1. Task 23
2. International Energy Agency (IEA)
3. Pareto
4. Dominate
5. Pareto frontier
6. sequential search (SS)
7. Ladybug
8. Honeybee
9. Octopus
10. Coimbra
11. Evolutionary Program for Space Allocation Problem
12. Java
13. Intersect
14. ضخامت عایق با در نظر گرفتن عدم آسیب اقتصادی قابل توجه به مساحت مفید واحد مسکونی و توجه به این نکته که ضخامت عایق حرارتی بیش از مقدار معینی تأثیری در انتقال حرارت آن ندارد، انتخاب شد.
15. ضخامت‌های در نظر گرفته شده برای بخش سازه‌ای کف، برای یک دهنے متعارف محاسبه شده است.
16. Window Natural Ventilation
17. Cross Ventilation
18. SPEA2
19. Galapagos
20. Octopus.e (explicit)
21. Eugénio Rodrigues

## فهرست منابع

- حافظی، محمدرضا، زمردیان، زهرا سادات، و تحصیل‌دوست، محمد (۱۳۹۵). فرایند دستیابی به نمای دوپوسته دارای بهره‌وری مناسب انرژی، نمونه موردي یک ساختمان اداری در تهران. *مطالعات معماری ایران*، ۱۰، ۱۰۱-۱۲۲.
- ریاضی، جمشید (۱۳۸۹). ویژگی‌های کارکردی دیوارهای خارجی ساختمان‌های متعارف (قابلیت‌های عملکردی، رفتاری، ساختاری). تهران: مرکز تحقیقات ساختمان و مسکن.
- ریاضی، جمشید (۱۳۹۴). ویژگی‌های کارکردی دیوارهای داخلی ساختمان‌های متعارف (قابلیت‌های عملکردی، رفتاری، ساختاری). تهران: مرکز تحقیقات ساختمان و مسکن.
- ریاضی، جمشید، و ماجدی، محمد حسین (۱۳۸۸). ویژگی‌های کارکردی در و پنجره ساختمان‌های متعارف (قابلیت‌های عملکردی، رفتاری، ساختاری). تهران: مرکز تحقیقات ساختمان و مسکن.
- سخنان سرخابی، زهرا، و خان‌محمدی، محمد علی (۱۳۹۴). بهینه کردن کارکرد انرژی دیوارهای بدون بازشو در جبهه‌های آفتابگیر. *هویت شهر*، ۹(۲۲)، ۷۳-۸۹.
- فیاض، ریما (۱۳۹۲). سطح بهینه پنجره ساختمان‌های مسکونی در اردبیل و تهران. *نامه معماری و شهرسازی*، ۵(۱۰)، ۱۰۵-۱۱۹.
- قاسمزاده، مسعود (۱۳۹۱). معیارهای ابعادی و ملاحظات طراحی فضاهای واحد مسکونی شهری. تهران: مرکز تحقیقات راه، مسکن و شهرسازی.
- مرکز تحقیقات ساختمان و مسکن (۱۳۸۹). مبحث نوزدهم مقررات ملی ساختمان. تهران: مرکز تحقیقات ساختمان و مسکن.
- مهدوی‌نژاد، محمدمجود، طاہباز، منصوره، و دولت‌آبادی، مهناز (۱۳۹۵). بهینه‌سازی تناسبات و نحوه استفاده از رف نور

در معماری کلاس‌های آموزشی. هنرهای زیبای - معماری و شهرسازی، ۲۱(۲)، ۸۱-۹۲.  
یوسفی، ملیکا، مداعی، سیدمهدي، و سهیلی‌فرد، مهدی (۱۳۹۶). بهینه‌سازی جداره خارجی ساختمان در راستای افزایش آسایش حرارتی ساکنان با بهره‌گیری از الگوریتم ژنتیک. اولین همایش بین‌المللی عمران، معماری و شهر سبز پا یدار.

- Ahmed, S., Weber, M., Liwicki, M., Langenhan, C., Dengel, A., & Petzold, F. (2014). Automatic analysis and sketch-based retrieval of architectural floor plans. *Pattern Recognition Letters*, 35, 91–100.
- Ascione, F., Bianco, N., Stasio, C. D., Mauro, G. M., & Vanoli, G. P. (2017). Artificial neural networks to predict energy performance and retrofit scenarios for any member of a building category: A novel approach. *Energy*, 118, 999–1017.
- Attia, S., Gratia, E., Herde, A. D., & Hensen, J. L. M. (2012). Simulation-based decision support tool for early stages of zero-energy building design. *Energy and Buildings*, 49, 2–15.
- ASHRAE, FUNIP (2013). *ASHRAE handbook: fundamentals (IP Edition)*. USA: Ashrae.
- Azari, R., Garshasbi, S., Amini, P., Rashed-Ali, H., & Mohammadi, Y. (2016). Multi-objective optimization of building envelope design for life cycle environmental performance. *Energy and Buildings*, 126, 524–34.
- Baglivo, C., Maria Congedo, P., & Fazio, A. (2014). Multi-criteria optimization analysis of external walls according to ITACA protocol for zero energy buildings in the mediterranean climate. *Building and environment*, 82, 467–80.
- Bichiou, Y., & Krarti, M. (2011). Optimization of envelope and HVAC systems selection for residential buildings. *Energy and Buildings*, 43, 3373–82.
- Bournas, I., & Haav, L. (2016). *Multi-objective Optimization of Fenestration Design in Residential spaces*. Malmö: The Case of MKB Greenhouse, Sweden.
- Caruso, G., & Kämpf, J. H. (2015). Building shape optimisation to reduce air-conditioning needs using constrained evolutionary algorithms. *Solar Energy*, 118, 186–196.
- Chen, X., Hongxing, Y., & Weilong, Z. (2017). Simulation-based approach to optimize passively designed buildings: A case study on a typical architectural form in hot and humid climates. *Renewable and Sustainable Energy Reviews*, 82, 1712–1725.
- Dogan, T., Saratsis, E., & Reinhart, C. (2015). The optimization potential of floor-plan typologies in early design energy modeling. *14th Conference of International Building Performance Simulation Association*, Hyderabad, India, Dec. 7–9, 2015.
- Ercan, B., & Elias-Ozkan, S. T. (2015). Performance-based parametric design explorations: A method for generating appropriate building components. *Design Studies*, 38, 33–53.
- Evins, R. (2013). A review of computational optimisation methods applied to sustainable building design. *Renewable and Sustainable Energy Reviews*, 22, 230–45.
- Fan, Y., & Xiaohua, X. (2017). A multi-objective optimization model for energy-efficiency building envelope retrofitting plan with rooftop PV system installation and maintenance. *Applied Energy*, 189, 327–335.
- Fang, Y. (2017). *Optimization of Daylighting and Energy Performance Using Parametric Design, Simulation Modeling, and Genetic Algorithms*. North Carolina State University.
- Futrell, B. J., Ozelkan, E. C., & Bretnrup, D. (2015). Bi-objective optimization of building enclosure design for thermal and lighting performance. *Building and environment*, 92, 591–602.

- Gossard, D., Lartigue, B., & Thellier, F. (2013). Multi-objective optimization of a building envelope for thermal performance using genetic algorithms and artificial neural network. *Energy and Buildings*, 67, 253–260.
- Granadeiro, V., Duarte, J. P., Correia, J. R., & Lea, V. M. S. (2013). Building envelope shape design in early stages of the design process: Integrating architectural design systems and energy simulation. *Automation in construction*, 32, 196–209.
- Hendron, R., & Engebrecht, C. (2010). Building America house simulation protocols, *National Renewable Energy Laboratory Golden (EERE)*. Washington, DC: Golden, CO: National Renewable Energy Laboratory.
- Hester, J., Gregory, J., & Kirchain, R. (2017). Sequential early–design guidance for residential single–family buildings using a probabilistic metamodel of energy consumption. *Energy and Buildings*, 134, 202–11.
- Hygh, J. S., DeCarolis, J. F., Hill, D. B., & Ranjithan, S. R. (2012). Multivariate regression as an energy assessment tool in early building design. *Building and environment*, 57, 165–75.
- Konis, K., Gamas, A., & Kensek, K. (2016). Passive performance and building form: An optimization framework for early–stage design support. *Solar Energy*, 125, 161–79.
- Liu, S., Meng, X., & Tam, C. (2015). Building information modeling based building design optimization for sustainability. *Energy and Buildings*, 105, 139–53.
- Löhnert, G., Dalkowski, A., & Sutter, W. (2003). *Integrated Design Process: a guideline for sustainable and solar–optimised building design*. Berlin: IEA International Energy Agency.
- Machairas, V., Tsangrassoulis, A., & Axarli, K. (2014). Algorithms for optimization of building design: A review. *Renewable and Sustainable Energy Reviews*, 31, 101–12.
- Merrell, P., Schkufza, E., & Koltun, V. (2010). Computer–generated residential building layouts. *ACM Transactions on Graphics (TOG)*, 29(6), 181.
- Merriam–Webster (2017). *Merriam–Webster online dictionary*.
- Miles, J. C., Sisk, G. M., & Moore, C. J. (2001). The conceptual design of commercial buildings using a genetic algorithm. *Computers & Structures*, 79, 1583–92.
- Negendahl, K., & Nielsen, T. R. (2015). Building energy optimization in the early design stages: A simplified method. *Energy and Buildings*, 105, 88–99.
- Rodrigues, E., Gaspar, A. R., & Gomes, Á. (2014). Improving thermal performance of automatically generated floor plans using a geometric variable sequential optimization procedure. *Applied Energy*, 132, 200–215.
- Samuelson, H., Claussnitzer, S., Goyal, A., Chen, Y., & Romo–Castillo, A. (2016). Parametric energy simulation in early design: High–rise residential buildings in urban contexts. *Building and environment*, 101, 19–31.
- Schwartz, Y., Raslan, R., & Mumovic, D. (2016). Implementing multi objective genetic algorithm for life cycle carbon footprint and life cycle cost minimisation: A building refurbishment case study. *Energy*, 97, 58–68.
- Tuhus–Dubrow, D., & Krarti, M. (2010). Genetic–algorithm based approach to optimize building envelope design for residential buildings. *Building and environment*, 45, 1574–81.
- Wang, W., Rivard, H., and Zmeureanu, R. (2005). An object–oriented framework for simulation–

- based green building design optimization with genetic algorithms. *Advanced Engineering Informatics*, 19, 5–23.
- Wang, W., Rivard, H., & Zmeureanu, R. (2006). Floor shape optimization for green building design. *Advanced Engineering Informatics*, 20(4), 363–378.
  - Wright, Jonathan A (1986). *The optimised design of HVAC systems*. Doctoral dissertation, Loughborough University, JA Wright.
  - Youssef, A., Ali, M. Z., Zhiqiang, J., & Reffat, R. M. (2016). Genetic algorithm based optimization for photovoltaics integrated building envelope. *Energy and Buildings*, 127, 627–36.
  - Zitzler, E., Laumanns, M., & Thiele, L. (2001). SPEA2: Improving the strength Pareto evolutionary algorithm. *TIK-report*, 103.
  - Zomorodian, Z. S., & Tahsildost, M. (2017). Assessment of window performance in classrooms by long term spatial comfort metrics. *Energy and Buildings*, 134, 80–93.
  - [http://saba.org.ir/saba\\_content/media/image/2012/07/4118\\_orig.pdf](http://saba.org.ir/saba_content/media/image/2012/07/4118_orig.pdf)
  - [http://www.jaloxa.eu/resources/radiance/colour\\_picker/index.shtml](http://www.jaloxa.eu/resources/radiance/colour_picker/index.shtml).